

3
Л-24

489

ОБЪЕДИНЕННЫЙ ИНСТИТУТ ЯДЕРНЫХ ИССЛЕДОВАНИЙ

Лаборатория теоретической физики

Лаборатория ядерных проблем

D-489

Л.И. Липидус, Чжоу Гуан-чжао

НЕУПРУГИЕ ВЗАИМОДЕЙСТВИЯ
В КОНЕЧНОМ СОСТОЯНИИ
И ОКОЛОПороГОВЫЕ ОСОБЕННОСТИ

ЖЭТФ, 1960, т 39, в. 2, стр. 364-372.

Дубна 1960 год

D-489

Л.И. Липидус, Чжоу Гуан-чжао

НЕУПРУГИЕ ВЗАИМОДЕЙСТВИЯ
В КОНЕЧНОМ СОСТОЯНИИ
И ОКОЛОПороГОВЫЕ ОСОБЕННОСТИ

Направлено в ЖЭТФ.

Объединенный институт
ядерных исследований
БИБЛИОТЕКА

54/9 48
6/145

А н н о т а ц и я

Показано, что в энергетическом спектре частиц α от реакции вида $A+B \rightarrow \alpha + C + D$ вблизи порога реакции $C+D \rightarrow E+F$ возможно появление энергетических немонотонностей.

В качестве примера анализируется спектр K -мезонов от реакции $N+N \rightarrow \Lambda + N + K$ в области энергий Λ - N пары вблизи порога процесса $\Lambda + N \rightarrow \Sigma + N$. Для процесса $p+p \rightarrow \Lambda + N + K$ получены энергетический спектр K -мезонов, когда налетающие нуклоны неполяризованы, и поляризация барионов, когда налетающие нуклоны поляризованы.

Обсуждаются энергетические немонотонности в спектре частиц для ряда других реакций.

В приложении анализируется рождение Υ - K пары в n - p соударениях и обсуждается случай скалярной K -частицы.

1. Введение

Известно, что в процессах рождения частиц взаимодействие двух образующихся частиц влияет на энергетический спектр и угловое распределение третьей частицы. В некоторых случаях эффект взаимодействия в конечном состоянии может быть отделен от первичного механизма рождения частиц. Это имеет место, когда эффективный радиус первичного взаимодействия много меньше радиуса взаимодействия пары частиц в конечном состоянии. Более того, если взаимодействие пары частиц с другими разлетающимися частицами оказывается слабым, взаимодействие двух частиц в конечном состоянии можно характеризовать двухчастичными длинами рассеяния.

Теория взаимодействия в конечном состоянии была применена Мигдалом^{/1/}, Брюкнером и Уатсоном^{/2/} и Парунцевой^{/3/} к рождению мезонов в $N-N$ столкновениях. Недавно Хенлей^{/4/}, Фельдман и Мэтьюз^{/5/} применили ее к анализу реакции



Они показали, что энергетический спектр K -мезонов сильно деформируется под влиянием $Y-N$ -взаимодействия.

Карплус и Родберг^{/6/} обобщили теорию взаимодействия в конечном состоянии на тот случай, когда сильное взаимодействие в конечном состоянии может привести к неупругому процессу.

В настоящей работе мы покажем, что вблизи порога рождения Σ -гиперона в энергетическом спектре K -частиц, образующихся вместе с Λ -гиперонами, будут иметь место некоторые аномалии. Они являются новым примером околороговых аномалий, которые усиленно изучаются в последние годы^{/7/}.

Форма и вид околороговых аномалий, помимо сечения нового неупругого процесса, зависят от спина и четности частиц. Изучение с достаточной точностью этих аномалий может помочь определить эти свойства рождающихся частиц.

В предположении о том, что конечное состояние реакции /1/ описывается

синглетной и триплетной S -волнами $Y-N$ системы, во втором разделе настоящей работы анализируется кинематика реакции и получены выражения для энергетического спектра K -мезонов и поляризации Λ -частиц и нуклонов, когда падающий пучок нуклонов поляризован.

В третьем разделе дается общая формулировка теории неупругого взаимодействия в конечном состоянии. Мы исходим из унитарности S -матрицы и аналитичности амплитуды реакции.

В § 4 рассматриваются локальные околороговые аномалии в энергетическом спектре K -мезонов в реакции $N+N \rightarrow \Lambda+N+K$ вблизи порога образования Σ -гиперона.

В заключении указаны некоторые другие подобные процессы и обсуждается возможное обобщение развитого метода на эти процессы.

2. Кинематика. Феноменологический анализ

Введем координаты Якоби в конечном состоянии трехчастичной системы

$$\vec{R} = \frac{M_N \vec{z}_N + M_Y \vec{z}_Y + M_K \vec{z}_K}{M_N + M_Y + M_K}; \quad \vec{\rho} = \vec{z}_K - \frac{M_N \vec{z}_N + M_Y \vec{z}_Y}{M_N + M_Y}; \quad \vec{z} = \vec{z}_N - \vec{z}_Y, \quad /2/$$

где M_N , M_Y и M_K - массы нуклона, гиперона и K -мезона, соответственно; \vec{z}_N , \vec{z}_Y и \vec{z}_K - их координаты. Импульсами, сопряженными к \vec{R} , $\vec{\rho}$ и \vec{z} будут \vec{P} , \vec{p} и \vec{q} , соответственно. Полная энергия E в новых переменных равна

$$E = \frac{P^2}{2m_Y} + \frac{q^2}{2\mu_Y} + M_K + M_Y - M_N \quad (\text{с.ц.и}), \quad /3/$$

где

$$m_Y = \frac{M_N M_Y}{M_N + M_Y} \quad /4/$$

$$\mu_Y = \frac{M_K (M_N + M_Y)}{M_K + M_N + M_Y}$$

полная масса и соответствующие приведенные массы.

Фазовый объем конечного состояния выражается через p и q в следующем виде

$$dJ = m_Y p_Y q^2 dq d\Omega_p d\Omega_q, \quad /5/$$

где $d\Omega_p$ и $d\Omega_q$ - телесные углы импульсов p_Y и q , соответственно.

Рассмотрим для определенности реакцию



ниже порога реакции



Доступная энергия конечного состояния реакции /6/ в системе центра масс не превышает 80 Мэв, так что можно предположить, что образовавшиеся частицы находятся в S -состоянии.

Представим элемент S -матрицы в виде

$$\langle \Lambda p K^+ | S | p p \rangle = -2\pi i \delta(E_i - E_f) \langle \Lambda p K^+ | T | p p \rangle. \quad /8/$$

Если K -мезон является псевдоскалярной частицей, спиновая структура

T -матрицы имеет вид

$$\begin{aligned} \langle \Lambda p K | T | p p \rangle = & A_\Lambda (\vec{\sigma}_1 + \vec{\sigma}_2, \vec{k}) + B_\Lambda \{ (\vec{\sigma}_1 - \vec{\sigma}_2, \vec{k}) + i (\vec{k} [\vec{\sigma}_1, \vec{\sigma}_2]) \} \\ & + C_\Lambda \{ (\vec{\sigma}_1 - \vec{\sigma}_2, \vec{k}) - i (\vec{k} [\vec{\sigma}_1, \vec{\sigma}_2]) \}, \end{aligned} \quad /9/$$

где $\vec{\sigma}$ - матрица спина, \vec{k} - единичный вектор по направлению налетающего протона; A_Λ , B_Λ и C_Λ - скалярные функции полной энергии E и относительного импульса p_Λ пары Λ - N . Так как в начальном состоянии имеются две тождественные частицы, элемент T -матрицы необходимо антисимметризовать по двум начальным протонам. Можно показать, что это приводит к тому, что $B_\Lambda = 0$.

Выражение для сечения реакции /6/ с неполяризованными частицами имеет вид

$$\frac{d\sigma}{d\Omega_p d\Omega_q dT} = (2\pi)^4 \frac{E}{2(E^2 - 4M_N^2)^{1/2}} (2m_\Lambda \mu_\Lambda)^{3/2} [T(T_{max} - T)]^{1/2} \times [|A_\lambda + C_\lambda|^2 + |A_\lambda - C_\lambda|^2 + 2|C_\lambda|^2], \quad /10/$$

где $T = \frac{q^2}{2\mu_\Lambda}$ - кинетическая энергия K - мезона относительно центра масс Λ - N системы.

→ Если протоны в начальном состоянии поляризованы /вектор поляризации \vec{P} /, то \vec{P}_Λ - вектор поляризации Λ -частицы в конечном состоянии будет равен

$$\vec{P}_\Lambda [2|A_\lambda|^2 + 4|C_\lambda|^2] = 2 [|A_\lambda + C_\lambda|^2 - |C_\lambda|^2] (\vec{k} \vec{P}) \vec{k} + [|A_\lambda - C_\lambda|^2 - |A_\lambda + C_\lambda|^2] \vec{P}. \quad /11/$$

Выражение для поляризации нуклонов в конечном состоянии отличается от /11/ знаком перед C_λ .

3. Упругое взаимодействие в конечном состоянии

Рассмотрим условие унитарности

$$\langle \Lambda R K | T - T^\dagger | p p \rangle = 2\pi i \sum_n \langle \Lambda R K | T | n \rangle \langle n | T^\dagger | p p \rangle \delta(E_i - E_n), \quad /12/$$

где $|n\rangle$ - возможное промежуточное состояние, лежащее на той же энергетической поверхности, что и начальное состояние. Предположим, что в рассматриваемой области энергий мнимая часть T - матрицы связана, в основном, с сильным взаимодействием Λ - P - системы. Тогда мы можем пренебречь в правой части /12/ всеми промежуточными состояниями, кроме $\Lambda R K$ состояния и приближенно заменим $\langle \Lambda R K | T | \Lambda' P' \rangle$ на $\langle \Lambda P | T | \Lambda' P' \rangle \langle K | K' \rangle$.

Это означает, что мы пренебрегаем взаимодействием между K -мезоном и Λ - P парой.

Матричный элемент $\langle \Lambda P | T | \Lambda' P' \rangle$ в области малых энергий равен

$$\langle \Lambda P | T | \Lambda' P' \rangle = (4\pi^2 \rho_\Lambda m_\Lambda)^{-1} \left[\frac{1}{4} (3 + \vec{\sigma}_1 \cdot \vec{\sigma}_2) \alpha_3 + \frac{1}{4} (1 - \vec{\sigma}_1 \cdot \vec{\sigma}_2) \alpha_1 \right], \quad /13/$$

где

$$\alpha_3 = e^{i\delta_3} \sin \delta_3 \quad /14/$$

и

$$\alpha_1 = e^{i\delta_1} \sin \delta_1 \quad /14'/$$

а δ_1 и δ_3 - фазы рассеяния в синглетном и триплетном состояниях, соответственно.

Опираясь на все эти предположения и учитывая инвариантность при обращении времени, из /12/ получаем

$$\text{Im } A_\Lambda = \frac{\text{Re } \alpha_3}{1 - \text{Im } \alpha_3} \text{Re } A_\Lambda = \frac{\text{Im } \alpha_3}{\text{Re } \alpha_3} \text{Re } A_\Lambda = \text{tg } \delta_3 \text{Re } A_\Lambda$$

/15/

$$\text{Im } C_\Lambda = \text{tg } \delta_1 \text{Re } C_\Lambda$$

$$A_\Lambda = (1 + i \text{tg } \delta_3) \text{Re } A_\Lambda \cong (1 + i a_3 \rho_\Lambda) \text{Re } A_\Lambda$$

$$C_\Lambda = (1 + i \text{tg } \delta_1) \text{Re } C_\Lambda \cong (1 + i a_1 \rho_\Lambda) \text{Re } C_\Lambda.$$

Из /15/ видно, что при $\delta \rightarrow 0$, т.е. в отсутствии взаимодействия в конечном состоянии, величины A_Λ и C_Λ являются действительными функциями. В рассматриваемой нами области энергий матричный элемент матрицы реакции является функцией двух величин - полной энергии E и ω - полной энергии Λ - P системы.

Если все особенности амплитуды связаны с физическими процессами, то A_Λ и C_Λ как аналитические функции ω и E можно представить в виде

$$\frac{e^{i\delta(\omega)} \sin \delta(\omega)}{\rho_\Lambda a} f(\omega) F_\Lambda(E), \quad /16/$$

где $f(\omega)$ - целая функция, которую для малых энергий можно заменить на константу.

Таким образом, окончательно аппроксимируем A_Λ и C_Λ выражениями

$$A_\Lambda = \frac{e^{i\delta_3} \sin \delta_3}{p_\Lambda a_3} A_\Lambda^\circ$$

$$C_\Lambda = \frac{e^{i\delta_1} \sin \delta_1}{p_\Lambda a_1} C_\Lambda^\circ$$

/16'/

где a_3 и a_1 - триплетная и синглетная длины Λ -P рассеяния в S' -состоянии, а A_Λ° и C_Λ° приближенно можно считать действительными функциями только полной энергии E .

Следовательно, учет унитарности S' -матрицы и аналитичности амплитуды реакции приводит непосредственно к основным результатам теории взаимодействия в конечном состоянии /см. например /8/ /.

С учетом /16/ выражения для сечения реакции и поляризации Λ -частиц можно представить в виде

$$\frac{d\sigma}{d\Omega} = (2\pi)^4 \frac{E}{2(E^2 - 4M_\Lambda^2)^{1/2}} (4\pi)^2 (2m_\Lambda \mu_\Lambda)^{3/2} [T(T_{max} - T)]^{1/2} \times$$

$$\left[2 \frac{\sin^2 \delta_3}{(p_\Lambda a_3)^2} |A_\Lambda^\circ|^2 + 4 \frac{\sin^2 \delta_1}{(p_\Lambda a_1)^2} |C_\Lambda^\circ|^2 \right];$$

/17/

$$\vec{P}_\Lambda \left[\frac{\sin^2 \delta_3}{(p_\Lambda a_3)^2} |A_\Lambda^\circ|^2 + 2 \frac{\sin^2 \delta_1}{(p_\Lambda a_1)^2} |C_\Lambda^\circ|^2 \right] = \left[\frac{\sin^2 \delta_3}{(p_\Lambda a_3)^2} |A_\Lambda^\circ|^2 + \right.$$

$$\left. + 2A_\Lambda^\circ C_\Lambda^\circ \frac{\sin \delta_1 \sin \delta_3 \cos(\delta_1 - \delta_3)}{p_\Lambda^2 a_3 a_1} \right] (\vec{k} \vec{S})^{\vec{k}} - 2A_\Lambda^\circ C_\Lambda^\circ \frac{\sin \delta_1 \sin \delta_3 \cos(\delta_1 - \delta_3)}{p_\Lambda^2 a_3 a_1} \vec{S}$$

/18/

($p_\Lambda^2 = 2m_\Lambda(T_{max} - T)$) . Если в правой части /18/ изменить знак перед C_Λ° получается выражение для поляризации нуклонов отдачи. Выражение /17/ и /18/ можно рассматривать как обобщение результатов Хенлея, который пренебрегал зависимостью матрицы реакции от спина.

Из /17/ и /18/ видно, что исследование энергетического спектра K -мезонов и особенно поляризации Λ -частиц и нуклонов оказывается очень полезным для определения длин Λ -P -рассеяния.

4. Неупругое взаимодействие. Окологороговые особенности

При увеличении энергии открывается Σ -канал и можно ожидать изменения спектра K -мезонов и других величин в канале $\Lambda K P$.

В этом случае в условии унитарности /8/ мы должны рассмотреть в качестве возможного промежуточного состояния также и состояние $(\Sigma N K)$. Мы ограничимся взаимодействием только в S -состоянии..

Как и в предыдущем разделе примем, что^{x/}

$$\langle \Lambda N K | T | \Sigma N' K' \rangle \cong \langle \Lambda N | T | \Sigma N' \rangle \langle K | K' \rangle$$

и учтем, что

$$\langle \Lambda N | T | \Sigma N \rangle = [4\pi^2 P_\Lambda^{1/2} P_\Sigma^{1/2} m_\Lambda^{1/2} m_\Sigma^{1/2}]^{-1} \left[\frac{1}{4} (3 + \vec{\sigma}_1 \cdot \vec{\sigma}_2) \beta_3 + \frac{1}{4} (1 - \vec{\sigma}_1 \cdot \vec{\sigma}_2) \beta_1 \right]_{19/}$$

где индексами Λ и Σ отмечаются величины в соответствующих каналах

$$P_\Sigma = [2m_\Sigma (E' - T)]^{1/2}, \quad E' = E - M_\Sigma + M_\Lambda. \quad /20/$$

Предполагая, что связанные состояния ρ - Σ -системы отсутствуют, в области малых энергий представим зависимость β_3 и β_1 от энергии в виде

$$\beta_3 = v_3 P_\Sigma^{1/2}, \quad \beta_1 = v_1 P_\Sigma^{1/2}, \quad /21/$$

если внутренние четности Σ и Λ совпадают.

Влияние Σ канала скажется для Λ - канала не только в виде дополнительного слагаемого в условии унитарности /8/, но также в виде дополнительного слагаемого в матричном элементе матрицы Λ - ρ рассеяния, пропорционального P_Σ .

$$\alpha_3 = \alpha_3^0 + i C_3 P_\Sigma, \quad \alpha_1 = \alpha_1^0 + i C_1 P_\Sigma, \quad /22/$$

^{x/} Учет слагаемых вида $\langle \rho \rho | T^+ | \rho \rho \rangle \langle \rho \rho | T | \Sigma N' K' \rangle$, малых для данной реакции, но необходимых в ряде случаев, усложняет выражения, не меняя основного результата.

где

$$C_{1,3} = \frac{P_\Lambda}{4\pi} \sigma_{1,3}^{\Sigma \rightarrow \Lambda} \quad /23/$$

а $\sigma_{2j}^{\Sigma \rightarrow \Lambda}$ - полное сечение реакции $\Sigma + N \rightarrow \Lambda + N$ в состоянии с моментом j . С учетом /19/-/23/ мы получаем из /8/, что

$$\begin{aligned} \text{Im } A_\Lambda &= (\text{Im } A_\Lambda)_{P_\Sigma=0} + A'_\Lambda P_\Sigma \\ \text{Im } C_\Lambda &= (\text{Im } C_\Lambda)_{P_\Sigma=0} + C'_\Lambda P_\Sigma \end{aligned} \quad /24/$$

где

$$\begin{aligned} A'_\Lambda &= \text{tg}^2 \delta_3 \cdot A_\Lambda^0 \cdot \frac{P_\Lambda}{4\pi} \sigma_3^{\Sigma \rightarrow \Lambda} (P_\Sigma=0) + \frac{A_\Sigma^0 \vartheta_3}{\cos^2 \delta_3} \\ C'_\Lambda &= \text{tg}^2 \delta_1 \cdot C_\Lambda^0 \cdot \frac{P_\Lambda}{4\pi} \sigma_1^{\Sigma \rightarrow \Lambda} (P_\Sigma=0) + \frac{C_\Sigma^0 \vartheta_1}{\cos^2 \delta_1} \end{aligned} \quad (\delta_{1,3} \neq \frac{\pi}{2}) \quad /25/$$

Соотношение /24/ справедливо, когда кинетическая энергия K -мезона T меньше E' . При $T > E'$ становится невозможным рождение реальной Σ -частицы и мы должны положить

$$P_\Sigma \rightarrow i K_\Sigma,$$

где

$$K_\Sigma = \sqrt{2m_\Sigma (T - E')} \quad , \quad T > E'$$

так что слагаемое, которое зависит линейно от K_Σ появляется в действительной части амплитуды реакции.

Наличие слагаемых, пропорциональных P_Σ ($T < E'$) и K_Σ ($T > E'$) приводит к обращению в бесконечность производной по энергии в энергетическом спектре K -мезонов и в зависимости от энергии поляризации Λ -частиц /и нуклонов/.

Порядок величины этих аномалий следует из /24/ и /25/, а их форма зависит от относительного знака A'_Λ , A'_Σ , $\vartheta_{3,1}$ и δ . Все четыре случая аномалий, обсуждавшихся в литературе для бинарных реакций, могут иметь место и в настоящем случае.

Отметим, что и в общем случае величины, заменяющие A'_Λ и C'_Λ имеют слагаемые, как связанные непосредственно с взаимодействием в конечном состоянии, так и не обусловленные им.

Все выражения в разделах 2,3 и 4 даны для рождения частиц в р-р-соударениях. Нетрудно обобщить их на случай n -р соударения. Это сделано в приложении. Там же обсуждается случай скалярной K -частицы.

Подчеркнем, что полученные в настоящем разделе выражения относятся к взаимодействию в S -состоянии конечной системы. Относительно большая разность масс Σ и Λ гиперонов делает затруднительным применение теории неупругого взаимодействия к анализу реакции /1/, однако основного утверждения о существовании в спектре немонотонности и причинах ее появления это не меняет.

Ранее было показано /9/, что прямое аналитическое продолжение $P_{\Sigma} \rightarrow ik_{\Sigma}$ невозможно проводить, когда вблизи порога имеется резонанс. В этом случае необходимо привлечение метода дисперсионных соотношений. Так как аналитическое поведение амплитуды реакции, как функции ω , неясно, мы не проводили такого анализа. Однако, даже если такой резонанс имеет место, можно ожидать энергетической немонотонности при относительной энергии Λ - N пары, равной порогу нового канала.

Если Σ и Λ имеют противоположные четности, первый член разложения в /22/ начнется с P_{Σ}^3 и в бесконечность обращается лишь вторая производная по энергии.

Следовательно, изучение пороговых аномалий в энергетическом спектре K -мезонов при достаточной высокой точности может оказаться полезным для определения относительной четности Σ и Λ частиц.

5. Обсуждение

Таким образом, эндотермические неупругие взаимодействия вида $C+D \rightarrow E+F$ в конечном состоянии реакции $A+B \rightarrow a+C+D$ в силу аналитичности и унитарности S -матрицы могут приводить к энергетическим немонотонностям в спектре частиц a .

Для экспериментального исследования этих особенностей требуются, конечно, хорошие точности и высокие энергетические разрешения. Но в результате обнаружения и изучения их могут быть получены сведения о взаимодействии нестабильных частиц, о их спине и четности.

Выше мы рассмотрели рождение гиперонов и K^- -мезонов в $N-N$ -соударениях. Отметим ряд других процессов, в которых могут иметь место подобные аномалии, изучение которых может дать сведения о взаимодействии нестабильных частиц.

В спектре π^+ -мезонов от реакции

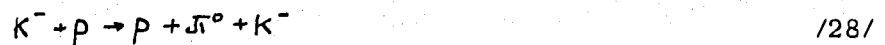


вблизи порога



будет иметь место аномалия, величина и характер которой через амплитуду реакции /27/ связаны с K^-p рассеянием при малых энергиях.

В спектре протонов от процесса рождения π^- -мезонов K^- -мезонами



возможна аномалия при энергии, соответствующей порогу реакции



если существуют силы, приводящие к подобной реакции.

Если попытаться построить лагранжиан $\pi-K$ взаимодействия и исключить из рассмотрения взаимодействия с производными, то получающееся выражение

$$L_{int} = g (\varphi_{\pi}^i \cdot \varphi_{\pi}^i) (\varphi_{K^+}^k \varphi_{K^+}^k) + \dots$$

инвариантно при вращении изотопического спина каждой частицы и все процессы $K-\pi$ рассеяния с изменением заряда оказываются запрещенными.

В более общих предположениях запрета реакции - /29/ получить не удастся, поэтому обнаружение энергетической немонотонности в спектре протонов от реакции /28/ представляло бы интерес с точки зрения изучения симметрии $\pi-K$ -взаимодействия.

Из реакций с участием двух π^- -мезонов интересно отметить, что в распределении нуклонов от реакций

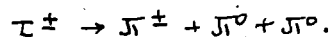


могут иметь место подобные аномалии при относительной энергии π^0 -мезонов, превышающей 9 Мэв, когда становится возможной реакция перезарядки



Учет пороговых явлений в реакции /31/ может привести к заметным эффектам в теории $\pi\text{-}\pi$ -взаимодействия при малых энергиях.

Существование порога в реакции /31/ может привести к немонотонности в спектре заряженных π -мезонов от τ -распада



Аналогично /30/ в спектре нуклонов от реакций



вблизи порога реакции

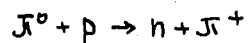


могут иметь место энергетические аномалии, связанные с $k\text{-}k$ -взаимодействием. Более того, в конечном состоянии реакции /33/ отсутствует кулоновское взаимодействие, которое может смазать немонотонность /см. /10/ /.

В спектре протонов от реакции



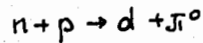
вблизи порога



и в спектре π^+ -мезонов от реакции



вблизи порога



также будут иметь место энергетические немонотонности^{х/}.

Приложение

А. Рождение псевдоскалярного К-мезона в n-p соударении

В n-p соударениях имеются две возможности для образования Λ -частицы



Обозначим амплитуды реакций в изотопически синглетном и триплетном состояниях через T_0 и T_1 , соответственно. Реакция /A1/ описывается тогда амплитудой $\frac{1}{2}(T_1 + T_0)$, а реакция /A2/ $\frac{1}{2}(T_1 - T_0)$. Спиновая зависимость изотопически триплетной амплитуды дается /9/ при $B_\Lambda = 0$, в то время как

$$\langle \Lambda n K | T_0 | n n \rangle = B_\Lambda \{ (\vec{\sigma}_1 - \vec{\sigma}_2, \vec{k}) + i(\vec{k} [\vec{\sigma}_1 \cdot \vec{\sigma}_2]) \}. \quad /A3/$$

При сделанных ранее предположениях мы можем учесть взаимодействие в конечном состоянии, положив

$$B_\Lambda = B_\Lambda^0 \frac{e^{i\delta_3} \sin \delta_3}{P_\Lambda a_3}, \quad /A4/$$

где B_Λ^0 - функция полной энергии E .

Выражения для сечения рождения и поляризации Λ -частиц имеют вид

^{х/} Длины рассеяния при малой энергии π^0 -p системы отличаются от получающихся в рамках изотопической инвариантности ввиду существования нарушающих изотопическую инвариантность немонотонностей, связанных с реакцией $\pi^0 + p \rightarrow n + \pi^+$.

Оценка с помощью дисперсионных соотношений приводит к $\sim 5\%$ поправкам.

$$\frac{d\sigma}{dT} = (2\pi)^4 \frac{E}{2[E^2 - 4M_N^2]^{1/2}} \frac{1}{4} (4\pi)^2 (2m_\Lambda \mu_\Lambda)^{3/2} [T(T_{max} - T)]^{1/2} \times$$

$$[|A_\Lambda + C_\Lambda \pm B_\Lambda|^2 + |A_\Lambda - C_\Lambda \mp B_\Lambda|^2 + 2|C_\Lambda \mp B_\Lambda|^2] \quad /A5/$$

и

$$\vec{P}_\Lambda [|A_\Lambda + C_\Lambda \pm B_\Lambda|^2 + |A_\Lambda - C_\Lambda \mp B_\Lambda|^2 + 2|C_\Lambda \mp B_\Lambda|^2] = 2 [|A_\Lambda + C_\Lambda \pm B_\Lambda|^2 -$$

$$- |C_\Lambda \mp B_\Lambda|^2] (\vec{k} \vec{P}) \vec{k} + [|A_\Lambda - C_\Lambda \mp B_\Lambda|^2 - |A_\Lambda + C_\Lambda \pm B_\Lambda|^2] \vec{P}. \quad /A6/$$

Знак плюс перед B_Λ имеет место для реакции /A1/, а минус - для /A2/.

Из /A5/ и /A6/ нетрудно получить "правила интенсивности"

$$d\sigma(n p \rightarrow \Lambda p K^0) = d\sigma(n p \rightarrow \Lambda n K^+) \quad /A7/$$

и

$$\vec{P}_\Lambda (n p \rightarrow \Lambda p K) = \vec{P}_\Lambda (n p \rightarrow \Lambda n K^+), \text{ если } \vec{P} \parallel \vec{k} \quad /A8/$$

Эти соотношения получены в предположении о том, что в конечном состоянии необходимо учитывать только S -волну. Соотношения могут быть использованы для экспериментальной проверки этого предположения.

В. Рождение скалярного К-мезона в $N-N$ -столкновениях

В этом случае

$$\langle \Lambda n K | T_1 | N N \rangle = A_\Lambda$$

$$\langle \Lambda n K | T_0 | N N \rangle = B_\Lambda (\vec{\sigma}_1 \cdot \vec{\sigma}_2), \quad /B1/$$

а

$$A_\Lambda = A_\Lambda^0 \frac{e^{i\delta_1} \sin \delta_1}{p_1 a_2}, \quad B_\Lambda = B_\Lambda^0 \frac{e^{i\delta_3} \sin \delta_3}{p_1 a_3}. \quad /B2/$$

Если ввести

$$f(NN \rightarrow \Lambda n K) = \frac{d\sigma(NN \rightarrow \Lambda n K)}{dT} \cdot \frac{8 (E^2 - 4M_N^2)^{1/2}}{[T(T_{max} - T)]^{1/2} (2\pi)^4 E (4\pi)^2 (2m_\Lambda \mu_\Lambda)^{3/2}}$$

то для сечений и поляризации Λ -частиц во всех трех реакциях получаем

$$f(pp \rightarrow \Lambda p K^+) = |A_\Lambda|^2 \frac{\sin^2 \delta_1}{(p_\Lambda a)^2} \quad /B3/$$

$$\vec{P}_\Lambda(pp \rightarrow \Lambda p K) = \vec{P} \quad /B4/$$

$$f(np \rightarrow \Lambda n K) = f(pp \rightarrow \Lambda p K^+) + 3|B_\Lambda|^2 \frac{\sin^2 \delta_3}{(p_\Lambda a_3)^2} \quad /B5/$$

$$\vec{P}_\Lambda(np \rightarrow \Lambda n K) = \frac{|A_\Lambda|^2 - |B_\Lambda|^2}{|A_\Lambda|^2 + |B_\Lambda|^2} \vec{P} \quad /B6/$$

Рукопись поступила в издательский отдел
17 февраля 1960 года.

Цитированная литература

1. А.Б. Мигдал. ЖЭТФ, 28, 10, 1955.
2. K. Brueckner, K.M. Watson. *Phys.Rev.*, 83, 1, 1951;
K.M. Watson. *Phys.Rev.*, 88, 1163, 1952.
3. Р. Парунцева. ЖЭТФ, 22, 123, 1952.
4. E.M. Henley. *Phys.Rev.*, 106, 1083, 1957.
5. G. Feldman, P.T. Matthews. *Phys.Rev.*, 109, 546, 1958.
6. R. Karplus, L.S. Rodberg. *Phys.Rev.*, 115, 1058, 1959.
7. E.P. Wigner. *Phys.Rev.*, 73, 1002, 1948.
А.И. Базь. ЖЭТФ, 36, 709, 1957.
G. Breit. *Phys.Rev.*, 107, 1612, 1957.
R.G. Newton. *Ann. of Phys.* 4, 29, 1958.
R.K. Adair. *Phys.Rev.*, 111, 632, 1958.
L. Fonda. *Nuovo Cimento* 13, 956, 1959.
8. В.Н. Грибов. ЖЭТФ, 33, 1431, 1957; 34, 849, 1958.
Nucl. Phys. 5, 653, 1958.
9. Л.И. Лapidус, Чжоу Гуан-чжао. Препринт ОИЯИ D-467 /1960/.
10. R.G. Newton, L. Fonda. *Ann. of Phys.* 7, 133, 1959.

571/9
25
6/175

Объединенный институт
ядерных исследований
БИБЛИОТЕКА